

# CHAPITRE OS7

## Oscillateurs amortis en régime transitoire

## ➤ Problématique

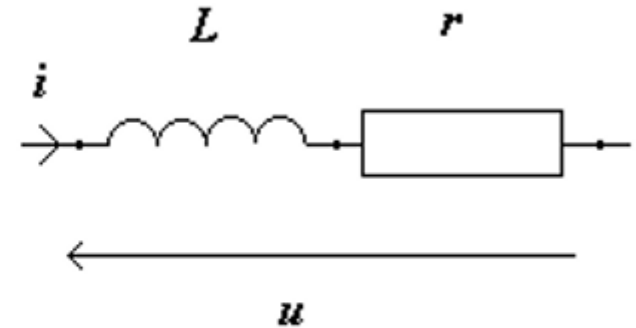
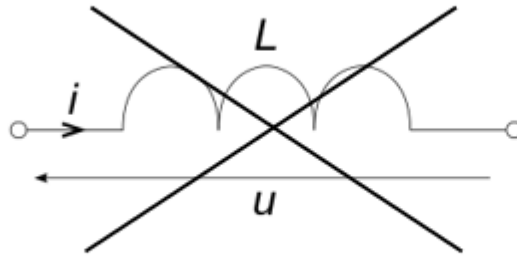


FIGURE 1 : Bobine réelle et son schéma équivalent

**Quel est l'effet de la résistance interne de la bobine sur le fct<sup>t</sup> d'un oscillateur harmonique (circuit LC)**

➤ Osc. harm = modèle

➤ Osc. réel = osc. amorti

**étude en régime transitoire**

# 1 Oscillateur amorti électrique en régime libre

## 1.1 Observations expérimentales

### ➤ Manipulation

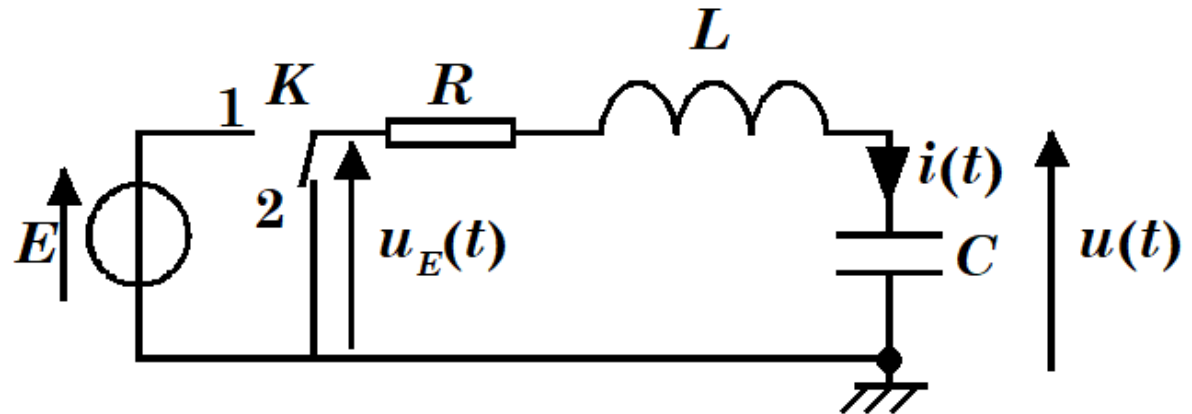


FIGURE 2 : Circuit  $RLC$  étudié

- Pour  $t < 0$ , l'interrupteur  $K$  est sur la position 1 et le condensateur  $C$  est chargé sous la tension  $E$ .
- À  $t = 0$ , on bascule l'interrupteur  $K$  sur la position 2.

### ➤ Observations

➤ Définition

oscillateur harmonique amorti

➤ Bilan d'énergie

amortissement des oscillations :  
dû à la résistance  $R$

## 1.2 Influence de R sur le régime transitoire

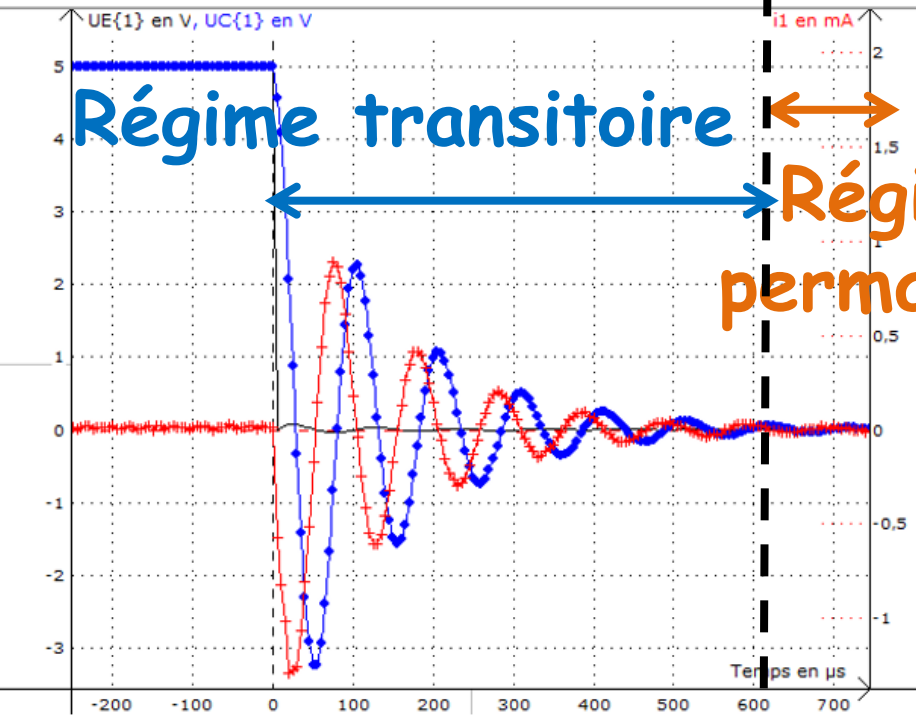


FIGURE 3 : Régime transitoire pseudo-périodique ou oscillant amorti

$$R = 600 \Omega, L = 48,4 \text{ mH}, C = 5 \text{ nF}$$

**Pseudo-périodique**

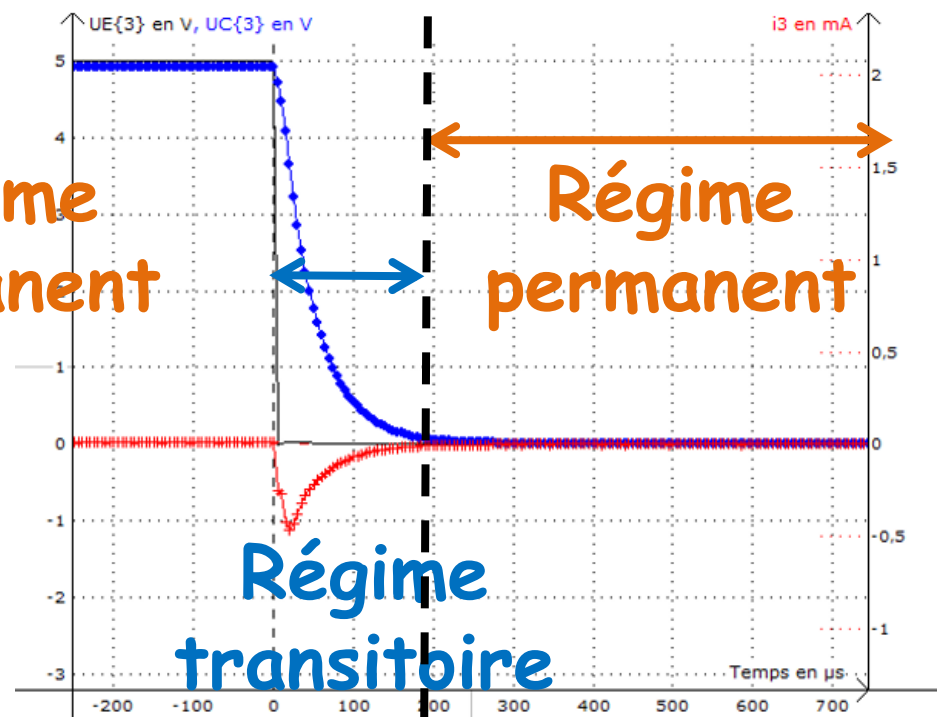


FIGURE 4 : Régime transitoire apériodique

$$R = 9 \text{ k}\Omega, L = 48,4 \text{ mH}, C = 5 \text{ nF}$$

**Apériodique**

Critique

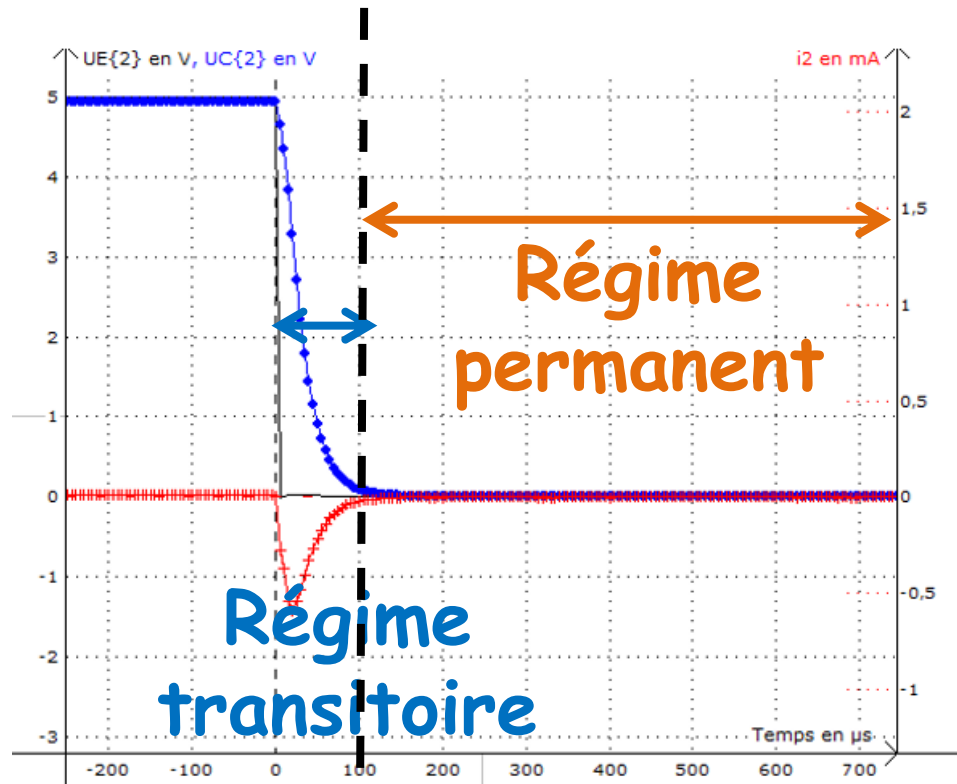
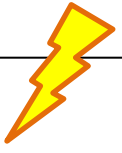


FIGURE 5 : Régime transitoire critique

$$R = 6,2 \text{ k}\Omega, L = 48,4 \text{ mH}, C = 5 \text{ nF}$$

Limite entre pseudo-périodique et apériodique

## 1.3 Équation différentielle vérifiée par $u(t)$



➤ Forme normalisée

Éq. diff. du 2<sup>nd</sup> ordre

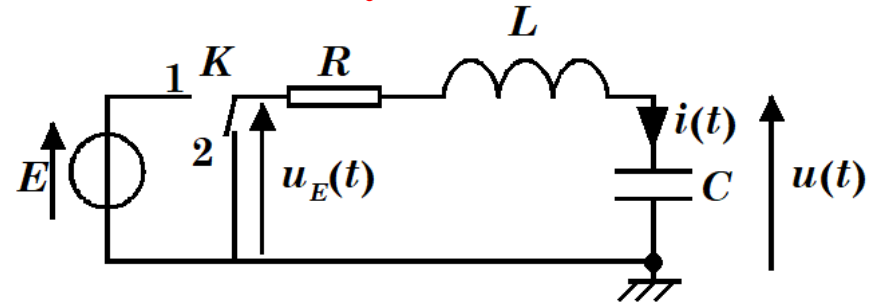


FIGURE 2 : Circuit RLC étudié

$$\frac{d^2u}{dt^2} + 2\xi\omega_0 \frac{du}{dt} + \omega_0^2 u = 0 \Leftrightarrow \frac{d^2u}{dt^2} + \frac{\omega_0}{Q} \frac{du}{dt} + \omega_0^2 u = 0$$

$\omega_0$  : pulsation propre ou caractéristique (rad/s)



$Q$  : facteur de qualité (sans unité)

$\xi = \frac{1}{2Q}$  : coeff. d'amortissement (sans unité)

Syst. du 2<sup>nd</sup> ordre caractérisé par 2 paramètres :

$\omega_0$  et  $Q$

OU

$\omega_0$  et  $\xi$

## 1.4 Conditions initiales

## 1.5 Résolution de l'équation différentielle

 Outils mathématiques 4 :

Résolution d'une équation différentielle du second ordre



### 1.5.1 Méthode de résolution



## 1.5.2 Amortissement faible : régime pseudo-périodique

➤ Amortissement faible

$$\xi < 1 \Leftrightarrow Q > \frac{1}{2}$$



➤ Définitions : Pseudo-pulsation

$$\omega_P = \sqrt{|\Delta'|} = \omega_0 \sqrt{1 - \xi^2} = \omega_0 \sqrt{1 - \frac{1}{4Q^2}} < \omega_0$$



pseudo-période

$$T_P = \frac{2\pi}{\omega_P} > T_0$$

➤ Solution complète

➤ Conditions initiales

➤ Solution finale

$$\delta = \ln \left( \frac{u(t_n) - U_P}{u(t_n + T_P) - U_P} \right)$$



Définition : Décrément logarithmique

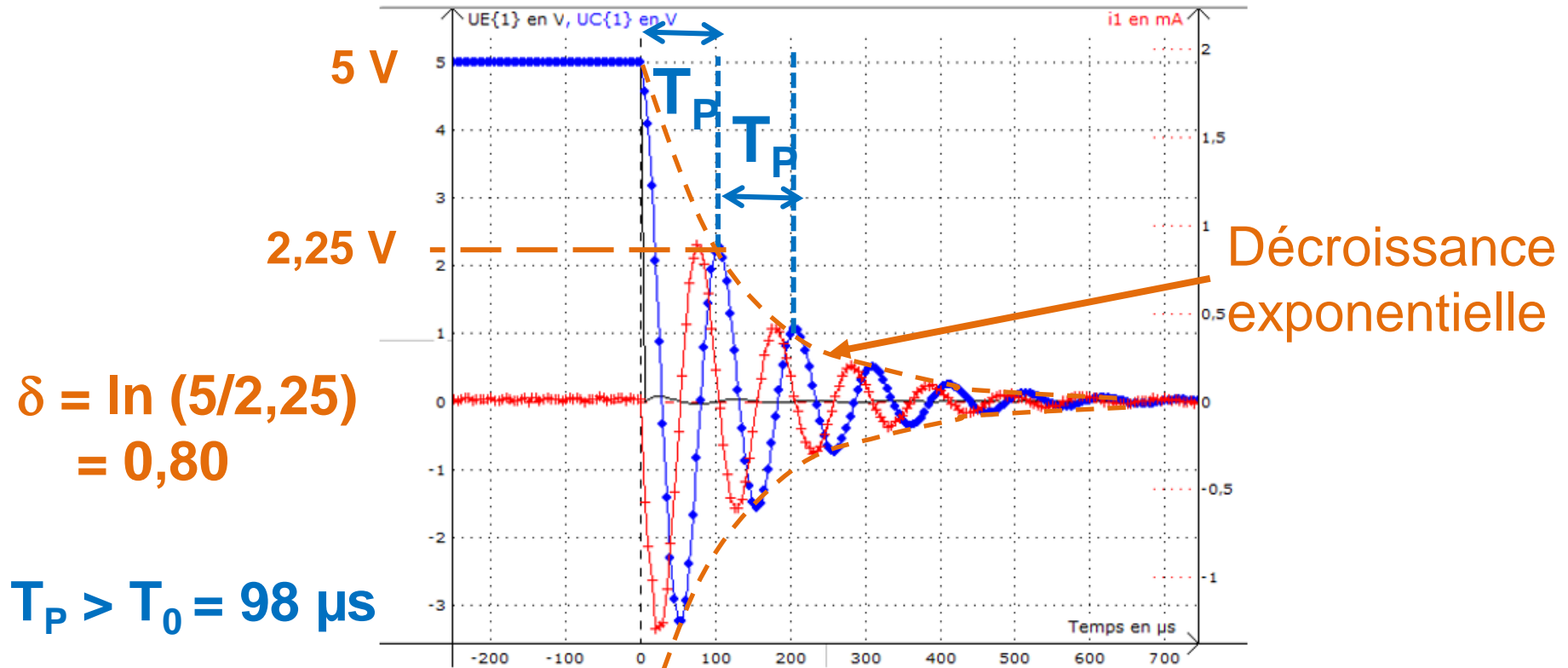


FIGURE 3 : Régime transitoire pseudo-périodique ou oscillant amorti  
 $R = 600 \Omega$ ,  $L = 48,4 \text{ mH}$ ,  $C = 5 \text{ nF}$

## 1.5.3 Amortissement fort : régime apériodique

➤ Amortissement fort

$$\xi > 1 \Leftrightarrow Q < \frac{1}{2}$$



➤ Solution complète

➤ Conditions initiales

➤ Solution finale

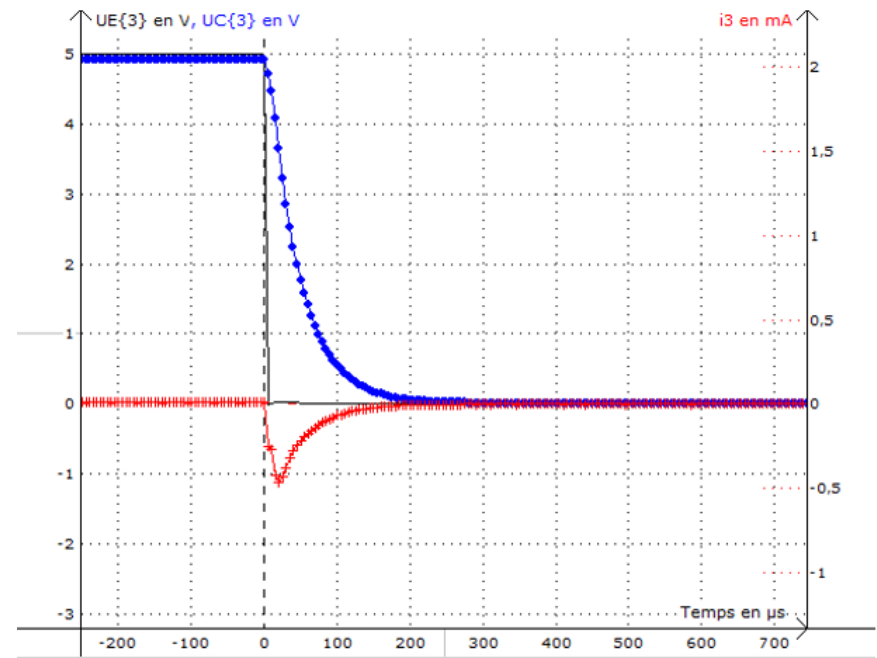


FIGURE 4 : Régime transitoire apériodique

$$R = 9 \text{ k}\Omega, L = 48,4 \text{ mH}, C = 5 \text{ nF}$$

## 1.5.4 Amortissement critique – Régime critique

### ➤ Amortissement critique

$$\xi = 1 \Leftrightarrow Q = \frac{1}{2}$$



### ➤ Solution complète

### ➤ Solution finale

### ➤ Résistance critique : $R_c$

Circuit RLC série :

$$R_c = 2\sqrt{\frac{L}{C}}$$

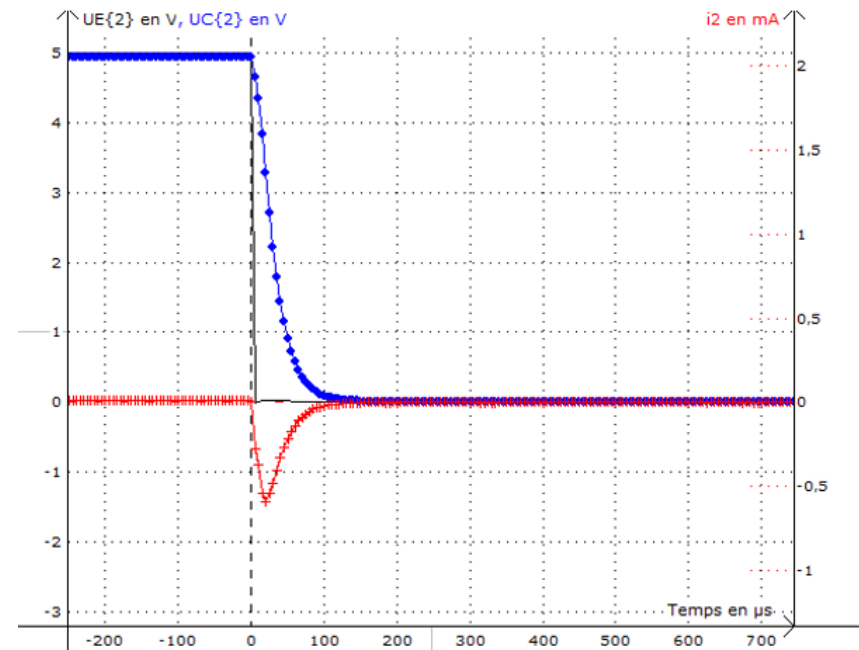


FIGURE 5 : Régime transitoire critique  
 $R = 6,2 \text{ k}\Omega$ ,  $L = 48,4 \text{ mH}$ ,  $C = 5 \text{ nF}$

## 1.6 Retour à la problématique

### ➤ Oscillateur LC

oscillateur faiblement amorti

régime transitoire pseudo-périodique

### ➤ Amélioration

## 2 Réponse indicielle d'un oscillateur électrique amorti

### 2.1 Circuit étudié et conditions initiales

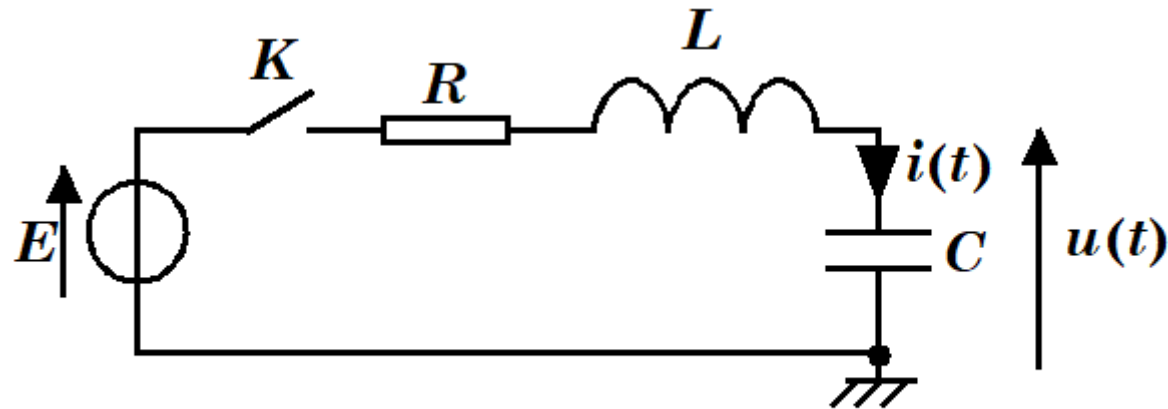


FIGURE 6 : Réponse indicielle du circuit  $RLC$

### 2.2 Régime permanent

## 2.3 Expressions de $u(t)$



- Équation différentielle vérifiée par  $u(t)$
- Forme normalisée

$$\frac{d^2u}{dt^2} + 2\xi\omega_0 \frac{du}{dt} + \omega_0^2 u = \omega_0^2 E \Leftrightarrow \frac{d^2u}{dt^2} + \frac{\omega_0}{Q} \frac{du}{dt} + \omega_0^2 u = \omega_0^2 E$$

- Expression de  $u(t)$

## 2.4 Graphes temporels de $u(t)$ et de $i(t)$

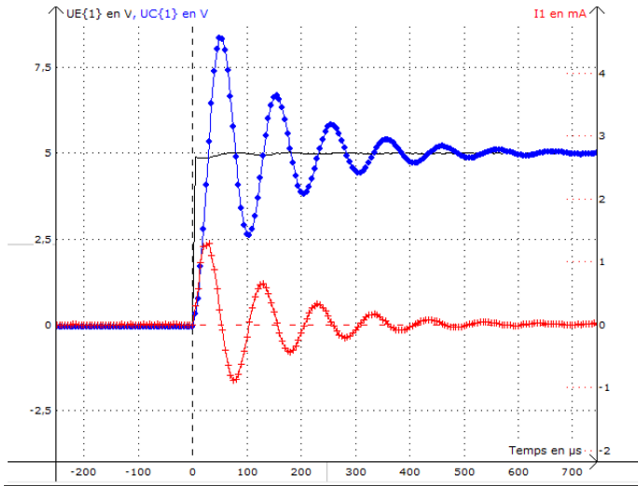


FIGURE 7 : Réponse indicielle : régime transitoire pseudo-périodique

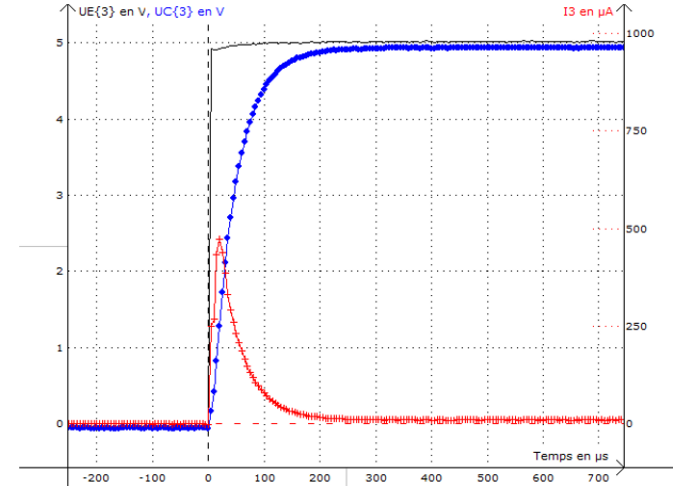


FIGURE 8 : Réponse indicielle : régime transitoire apériodique

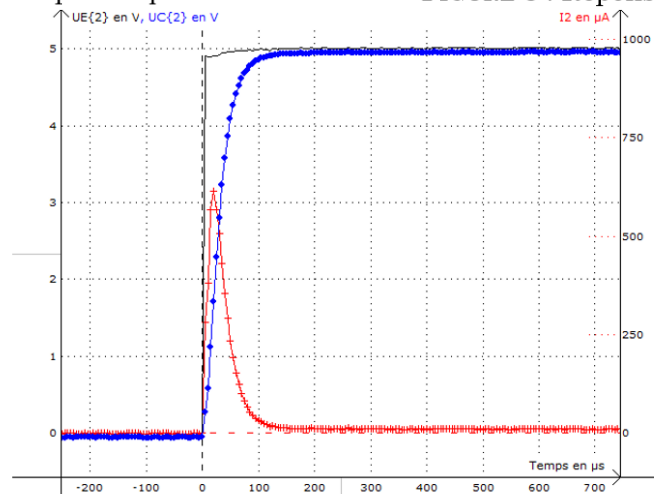


FIGURE 9 : Réponse indicielle : régime transitoire critique



## 2.5 Durée du régime transitoire

### ➤ Temps de réponse à 5%

**Définition** : temps de réponse à 5%, noté  $T_R$

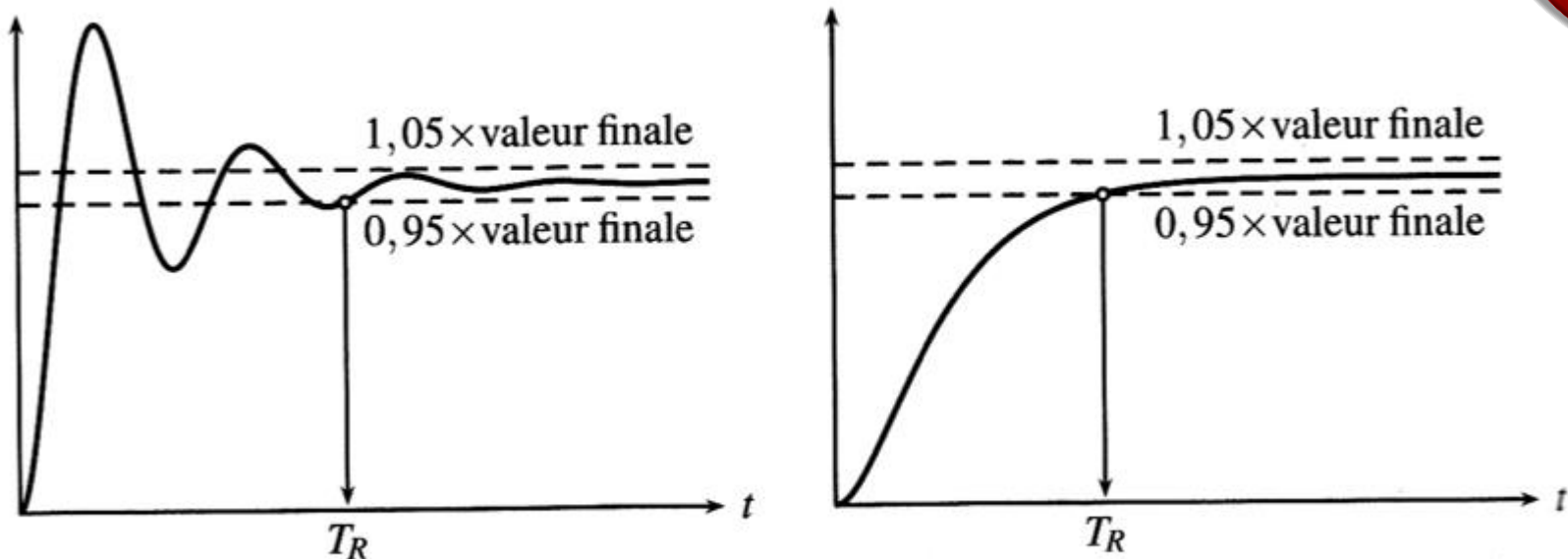


FIGURE 10 : Mise en évidence du temps de réponse à 5%

➤ Évolution de  $T_R$  en fonction du facteur  
d'amortissement  $\xi$

Propriété

tps de réponse min  
pour  $\xi = 0,7$

$$T_{R \min} = \frac{3}{\omega_0}$$

➤ Ordre de grandeur de la  
durée du régime transitoire

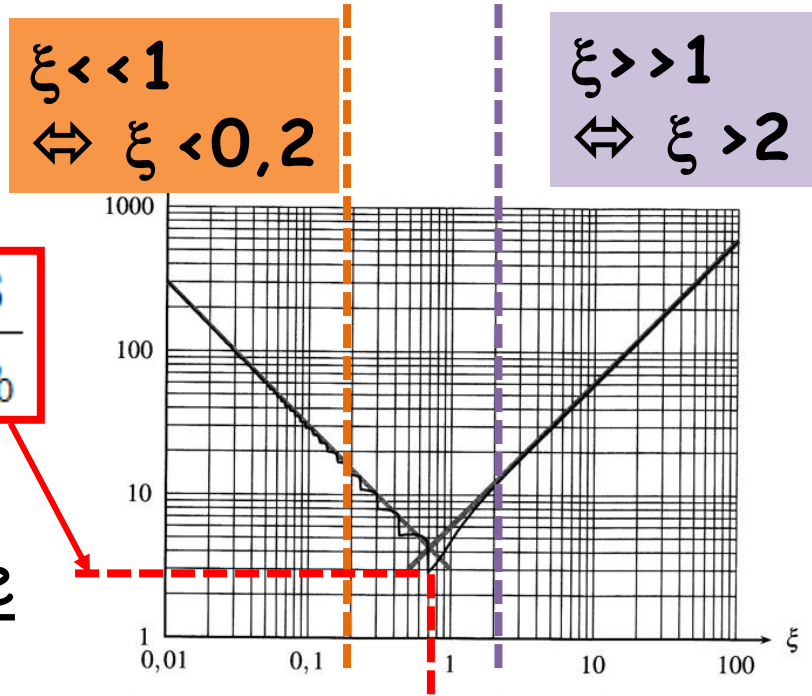


FIGURE 11 : Temps de réponse à 5% en fonction de  $\xi$  (en noir)  
et modélisation (en gris)

Faible amortissement

$$\xi \ll 1 \text{ ou } Q \gg \frac{1}{2}$$

$$T_R \simeq \frac{3}{\xi \omega_0} \simeq \frac{6Q}{\omega_0}$$

Fort amortissement

$$\xi \gg 1 \text{ ou } Q \ll \frac{1}{2}$$

$$T_R \simeq \frac{6\xi}{\omega_0} \simeq \frac{3}{Q\omega_0}$$

## 3 Bilan énergétique

### 3.1 Réponse indicielle

$$\mathcal{P}_g = \mathcal{P}_J + \frac{d}{dt}(\mathcal{E}_m + \mathcal{E}_e)$$

### 3.2 Régime libre

$$\frac{d}{dt}(\mathcal{E}_m + \mathcal{E}_e) = -\mathcal{P}_J$$